

КВАНТОВЫЕ СПИНОВЫЕ ВОЛНЫ (КСВ)

П.С.Зырянов, В.И.Окулов, В.Л.Силин

Классическая теория спиновых волн (СВ) в неферромагнитном металле предсказывает целый ряд ограничений на возможность их распространения, связанных с существованием бесстолкновительного затухания Ландау [1, 2]. В настоящем сообщении мы покажем, что благодаря квантованию орбитального движения электронов сильным внешним магнитным полем открывается возможность существования новых ветвей колебания спиновой плотности-КСВ.

Энергия элементарных возбуждений вырожденной электронной фермий жидкости в постоянном и однородном магнитном поле $B_0 \parallel z$ зависит от квантовых чисел n, p_z, σ , где n – число, соответствующее движению поперек магнитного поля, p_z – проекция импульса на B_0 , а $\sigma = \pm 1$ определяет значение проекции спина. Равновесное распределение фермий $f(E_{n, p_z, \sigma}) = f_{r, p_z}^\sigma$ является функцией энергии квазичастицы $E_{n, p_z, \sigma}$. Будем интересоваться напряженностями магнитных полей, для которых выполнены неравенства

$$kT < \hbar\Omega_0, \quad \hbar\Omega_0 \ll \zeta, \quad (1)$$

где ζ – химический потенциал, T – температура, а Ω – эффективная циклотронная частота, $\hbar\Omega_0$ – разность между спиновыми уровнями энергии электрона. Последняя величина отличается от соответствующего значения для свободного электрона благодаря эффектам фермий жидкостного взаимодействия [1]. Когда имеет место неравенство (1)

$$E_{n, p_z, \sigma} = E_{n, p_z} - \hbar/2\Omega_0\sigma.$$

В слабом переменном магнитном поле $\delta B = b(r)e^{i\omega t}$ можно найти уравнение для неравновесной спиновой матрицы плотности

$$\delta\sigma_{aa'} = 2\sum_{\sigma, \sigma'} S_{\sigma, \sigma'} \delta\rho_{aa'}^{\sigma\sigma'},$$

где a – полный набор орбитальных квантовых чисел электрона, S – оператор спина, $\delta\rho_{aa'}^{\sigma\sigma'}$ – неравновесная часть матрицы плотности квазичастиц. Считая $\delta\sigma_{aa'} \perp B_0$, найдем

$$[\hbar(\omega - \Omega_0) + E_a' - E_a + i\nu] \delta\sigma_{aa'}^+ - (f_a^{+1} - f_a^{-1}) \left[\frac{1}{2} \sum_{a_1 a_2} \psi_{aa_1}^{a_2 a'} \delta\sigma_{a_1 a_2}^+ + \mu_0 b_{aa'}^+ \right] = 0, \quad (2)$$

($\nu \rightarrow +0$)

где $\delta\sigma^+ = \delta\sigma_x + i\delta\sigma_y$, $\psi_{aa_1}^{a_2 a'}$ – определяет зависящую от спина часть

ферми-жидкостного взаимодействия, μ_0 – магнитный момент свободного электрона. Уравнение (2) не учитывает столкновений электронов, влияние которых считается малым. Для выявления интересующих нас КСВ достаточно изучить наиболее простой случай волн, распространяющихся вдоль $B_0 \parallel z$. Такие волны описываются матрицей плотности

$$\delta\sigma_{aa'}^+ = \delta\sigma^+(n_a, p_{za} q) \delta_{n_a, n_{a'}} \delta_{p_{ya}, p_{ya'}} \delta_{p_{za}, p_{za'}} \delta_{q_z, q_z},$$

где $q_z = q$ – волновой вектор СВ. В дальнейшем примем модель, учитывающую ферми-жидкостные взаимодействия приближенно [3], с помощью одной постоянной ψ и положим, в рассматриваемом нами случае $B_0 \parallel q$

$$\sum_{a_1 a_2} \frac{\psi^{a_2 a'}}{a_1 a_2} \delta\sigma_{a_1 a_2}^+ = \psi \sum_{a_1} \delta\sigma^+(n_{a_1}, p_{za_1}, q). \quad (3)$$

Принимая во внимание, что фурье-компоненты намагничения – $\delta m(q) = \mu_0 \sum_a \delta\sigma(n, p_z, q)$ и следуя [1] найдем из (2) дисперсионное уравнение

$$1 = \frac{\psi}{(2\pi\hbar)^2} \frac{|e|B_0}{c} \sum_n \int dp_z \frac{f_{n, p_z - \hbar q}^{+1} - f_{n, p_z}^{-1}}{\hbar(\omega - \Omega_0) + E_{n, p_z - \hbar q} - E_{n, p_z} + i\nu}. \quad (4)$$

Здесь c – скорость света, e – заряд электрона, $\nu \rightarrow +0$. Это уравнение при $\hbar\Omega_0 \ll kT$ переходит в классическое [1]. В простейшем случае при $T=0$ из (4) находим

$$1 - G(q, u) + i\pi \frac{\psi}{(2\pi\hbar)^2} \frac{|e|B_0}{c} \sum_{n=0}^N \frac{m_u^*}{\hbar q} \left(\int_{v_n^+}^{v_n^-} - \int_{v_n^-}^{v_n^+} \right) dv \delta(u - v) = 0, \quad (5)$$

где

$$u = (\omega - \Omega_0)/q, G(q, u) = \frac{\psi |e| B_0}{(2\pi\hbar)^2 c} \sum_{n=0}^N \frac{m_u^*}{\hbar q} \ln \left| \frac{v_n^+ - u}{v_n^+ + u} \frac{v_n^- + u}{v_n^- - u} \right|,$$

$$m^* = \frac{\partial^2 E_{n, p_z}}{\partial p_z^2}, \quad m_u^* = m^*|_{E_{n, p_z}}, \quad \zeta^{m_u^*} = m^*|_{p_z = p_u},$$

а p_u – корень уравнения

$$u = \partial E_{n, p_z} / \partial p_z; \quad v_n^\pm = \left(\frac{\partial E_{n, p_z}}{\partial p_z} \right)_{p_z = p_n^\pm},$$

причем p_n^+ и p_n^- являются, соответственно, корнями уравнений

$$\zeta + \frac{\hbar\Omega_0}{2} - E_{n, p_z - \hbar q} = 0 \quad \text{и} \quad \zeta - \frac{\hbar\Omega_0}{2} - E_{n, p_z} = 0;$$

и, наконец, N – целая часть $\zeta/\hbar\Omega$.

Поскольку $v_n^+ > v_n^-$, то при $v_n^- < u < v_n^+$, первый интеграл в (5), даёт единицу, а второй нуль, поэтому минимая часть порядка вещественной. Если $v_{n-1}^- > v_n^+$ (что всегда имеет место при $\Omega > \Omega_0$), а $v_n^+ < u < v_n^-$, то минимая часть в (5) обращается в нуль. При $\psi > 0$ и $\Omega_0 > \Omega$ неравенство

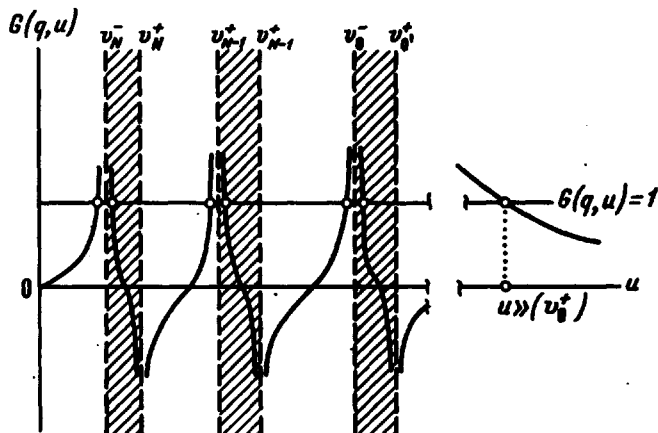


Рис. 1

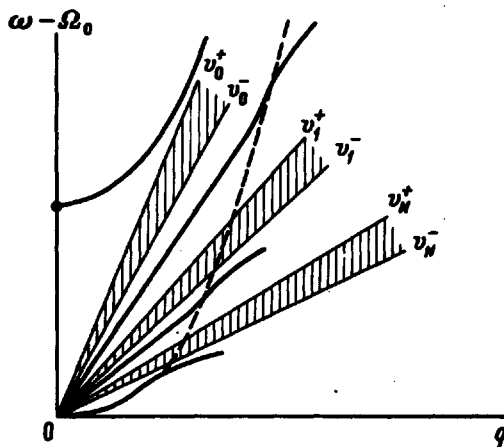


Рис. 2

$v_n^+ < v_{n-1}^-$, невозможно и минимая часть в (5) при любых $u < (v_n^+)_\text{max} = v_0^+$ немала, но при $u > v_0^+$ она всегда обращается в нуль. В итоге незатухающие решения уравнения (5) $u = u(q)$ могут существовать лишь при $v_{n-1}^- > v_n^+$, в интервале $v_n^+ < u < v_{n-1}^-$ и всегда при $u > v_0^+$. Удерживая в (5) лишь вещественную часть, найдем при небольших q следующие решения

$$\text{при } u >> v_0^+, \quad \omega_1 = \Omega_0 \left[1 + \frac{\psi |e| B_a}{(2\pi\hbar)^2 c} \sum_{n=0}^N \frac{2m^2}{n} (v_n^- - v_n^+) \right] + O(q^2), \quad (6)$$

при $v \ll (v_n^-)_{min}$, $\omega_2 = \Omega_0 + O(q^2)$, (7)

при $\lim_{q \rightarrow 0} v = \text{const}$, существует $(2N + 1)$ решений вида

$$\omega_i = \Omega_0 + c_i q, \quad (8)$$

а величины c_i находятся из уравнения

$$\sum_{n=0}^N \ln \frac{v_n^+ - c_i}{v_n^+ + c_i} \cdot \frac{v_n^- + c_i}{v_n^- - c_i} = 0.$$

Решения (6) – (8) можно получить, построив график $G(q, v)$ при фиксированном значении q и выделив на нем точки пересечения $G(q, v)$ и прямой $G = 1$. Такой график изображен на рис. 1. В заштрихованных областях затухание велико, поэтому из $2N + 3$ ветвей спектра незатухающими являются $N + 2$. В [4] были найдены незатухающие квантовые электромагнитные волны. На рис. 2 жирными линиями изображен примерный ход дисперсионных кривых $\omega(q)$, а заштрихованные участки плоскости ω, q – области сильного затухания. Спектр (6) (верхняя кривая на рис. 2) соответствует классическому пределу [1], тогда как КСВ (7), (8) возможны только в квантовом случае при $\Omega_0 < \Omega$.

Если же $\Omega_0 > \Omega$, то КСВ невозможны из-за большой величины затухания Ландау. Однако, как показывает анализ уравнения (5), даже при $\Omega_0 > \Omega$, но при $\psi < 0$ возможны незатухающие КСВ для $q > q^*$ и зависящего от ψ и $(\Omega_0 - \Omega)$.

Институт
физики металлов
Академии наук СССР
Сибирское отделение

Поступило в редакцию
5 августа 1968 г.

Литература

- [1] В.П.Силин. Спиновые волны в неферромагнитных металлах. Дополнение к книге А.И.Ахиезера, В.Г.Барьяхтар, С.В.Пелетминский. Спиновые волны. М., Изд.Наука, 1967.
- [2] D. R. Fredkin, J. R. Buchler, A. R. Wilson, Bull. Am. Phys. Soc., ser. II, 13, № 3, p. 362, 1968.
- [3] В.П.Силин. ЖЭТФ, 55, 697, 1968.
- [4] Э.А.Канер, В.Г.Скобов. Phys. stat. sol., 22, 333, 1967.